

Werk

Label: Article

PURL: https://resolver.sub.uni-goettingen.de/purl?31311028X_0069|log28

Kontakt/Contact

Digizeitschriften e.V.
SUB Göttingen
Platz der Göttinger Sieben 1
37073 Göttingen

✉ info@digizeitschriften.de

ČÁST FYSIKÁLNÍ.

O L-serii prvků Ta, W a Pt.

Václav Dolejšek (Praha) a Viktor Vranský (Sofia).

Podány výsledky studia L-serie Ta, W a Pt, za užití fokusační metody Kunzlovy s plasticky deformovaným mosaikovým krystalem NaCl užitým na základě výsledků Bačkovského o podmínce pro vyloučení vlivu mosaiky.

Nově nalezené čáry nediagramové a některé kvadrupolové klasifikované. Ukázáno, že na rozdíl od K-serie, kde nebyly dosud nalezeny přechody $\Delta l = \Delta j = 0$, tyto přechody v L-serii existují a rovněž přechody $l \rightarrow l + 3$ a $j \rightarrow j + 3$.

Srovnáním nově nalezených čar nediagramových s výsledky předchozími ukázáno, že při užití experimentálního uspořádání v této práci uvedeného bylo docíleno takové světelnosti, že mezi dokazatelností charakteristického záření X-spekter je dána povšechnou přirozenou nedokonalostí krystalů. Nedokonalostí krystalů je způsobováno difusní záření, které nelze rozeznat od záření charakteristického.

Podle klasické teorie X-záření jsou z možných přechodů mezi energetickými niveaux atomů povoleny pouze ty, pro které jsou splněny kvantové podmínky:

$$l \rightarrow \begin{cases} l+1 \\ l \\ l-1 \end{cases} \quad j \rightarrow \begin{cases} j+1 \\ j \\ j-1 \end{cases}$$

Již při použití metod s rovinným krystalem byly nalezeny některé čáry, které se shodovaly s hodnotami nedovolených přechodů, na př. kvadrupolových nebo nediagramových.

Naproti tomu již v K-serii některé nedovolené přechody, na př. přechod $K-L_I$, ač byly úsilovně hledány, nepodařilo se najít. Pomocí metod fokusačních podařilo se sice najít v K-serii kvadrupolové čáry $K\beta_4$ a $K\beta_5$, a některé nové linie nediagramové, avšak přechod $K-L_I$ ani přechody podobné $K-M_I$ a $K-N_I$ ani kvadrupolový přechod $K-N_{VI}, VII$ nalezeny nebyly ani při užití fokusačních metod. V L-serii měřil Kaufman¹⁾ první značný počet kvadrupolových čar u těžkých prvků a také první podal jejich klasifikaci.

¹⁾ S. Kaufman, Phys. Rev., 45 (1934), 385, Phys. Rev., 45 (1934), 613.

Kaufman nalezl tyto čáry metodou s rovinným krystalem, při čemž jednotlivé exposice trvaly 10—30 hod., tedy za experimentálních podmínek velmi obtížných.

Použitím fokusačních metod byl nalezen v L-serii těžkých prvků podobně jako v K-serii další počet kvadrupolových čar. Jsou to zvláště práce Cauchoisové,²⁾ ³⁾ Allaise,⁴⁾ Hulubeia⁵⁾ a Paratta⁶⁾ pro prvky Re, Pt, Ra, Hg.

Těmito pracemi byly u některých prvků získány skoro všechny čáry kvadrupolové a rovněž řada nových nedigramových čar, jichž klasifikace v L-serii je pro její komplikovanost přirozeně velmi obtížná. Zvláště je patrná obtížnost klasifikace z toho, že na př. L-serie W, která byla dosud měřena více než 20 autory, není bezpečně klasifikována. Wolfram je měřen autory: Barnes,⁷⁾ Hull a Rice,⁸⁾ Compton,⁹⁾ Siegbahn,¹⁰⁾ Siegbahn a Friman,¹¹⁾ Gorton,¹²⁾ Dershém,¹³⁾ Övern,¹⁴⁾ Duane a Patterson,¹⁵⁾ Costér,¹⁶⁾ Hoyt,¹⁷⁾ Yoshida,¹⁸⁾ Auger a Dauvillier,¹⁹⁾ Rogers,²⁰⁾ Crofut,²¹⁾ Friman,²²⁾ Jdei,²³⁾ Kaufman.²⁴⁾

Tantal byl dosud měřen autory: Moseley,²⁵⁾ Siegbahn a Fri-

-
- ²⁾ Y. Cauchois, C. R., **201** (1935), 598.
 - ³⁾ Y. Cauchois, C. R., **200** (1935), 1314, C. R., **201** (1935), 598, C. R., **204** (1937), 255, C. R., **206** (1938), 344.
 - ⁴⁾ Y. Cauchois et M. L. Allais, C. R., **200** (1935), 1314.
 - ⁵⁾ H. Hulubei, C. R., **203** (1936), 399, C. R., **203** (1936), 665, C. R., **203** (1936), 542.
 - ⁶⁾ L. Paratt, Phys. Rev., **54** (1938), 99.
 - ⁷⁾ J. Barnes, Phil. Mag., **30** (1915), 368.
 - ⁸⁾ A. W. Hull and M. Rice, J. Franklin Inst., **182** (1916), 403.
 - ⁹⁾ A. H. Compton, Phys. Rev., **7** (1916), 646 Phys. Rev., **7** (1916), 498.
 - ¹⁰⁾ M. Siegbahn, Verh. dtsch. physik Ges., **18** (1916), 39, Phys. Zs., **14** (1919), 137.
 - ¹¹⁾ M. Siegbahn und E. Friman, Ann. d. Phys., **49** (1916), 616.
 - ¹²⁾ W. S. Gorton, Phys. Rev., **7** (1916), 203.
 - ¹³⁾ E. Dershém, Phys. Rev., **11** (1918), 461.
 - ¹⁴⁾ O. B. Övern, Phys. Rev., **14** (1919), 137.
 - ¹⁵⁾ Duane and R. A. Patterson, Phys. Rev., **15** (1920), 328, Phys. Rev., **15** (1920), 526.
 - ¹⁶⁾ D. Costér, Zs. f. Phys., **4** (1921), 178.
 - ¹⁷⁾ Hoyt, Phys. Rev., **18** (1921), 331.
 - ¹⁸⁾ U. Yoshida, Mem. Coll. Sci. Kyoto Imp. Univ., **4** (1921), 343.
 - ¹⁹⁾ P. Auger et A. Dauvillier, C. R., **176** (1923), 1297.
 - ²⁰⁾ J. S. Rogers, Proc. Cambridge phil. Soc., **21** (1923), 430.
 - ²¹⁾ C. B. Crofut, Phys. Rev., **24** (1924), 9.
 - ²²⁾ E. Friman, Zs. f. Phys., **89** (1926), 813.
 - ²³⁾ S. Jdei, Sci. Rep. Tohoku Imp. Univ., **19** (1930), 559.
 - ²⁴⁾ S. Kaufman, Phys. Rev., **45** (1934), 385, Phys. Rev., **45** (1934), 613.
 - ²⁵⁾ H. G. Moseley, Phil. Mag., **27** (1914), 703.

man,²⁶⁾ Hjalmar,²⁷⁾ Coster,²⁸⁾ Auger a Dauvillier,²⁹⁾ Wennerlöf,³⁰⁾ Jdei,³¹⁾ Kaufman,³²⁾ Cauchoisová.³³⁾

Platina je měřena dosud autory: Moseley,³⁴⁾ Siegbahn a Friman,³⁵⁾ Siegbahn,³⁶⁾ Coster,³⁷⁾ Dauvillier,³⁸⁾ Rogers,³⁹⁾ Lang,⁴⁰⁾ Friman,⁴¹⁾ Jdei,⁴²⁾ Hoyt,⁴³⁾ Kaufman,⁴⁴⁾ Cauchois.⁴⁵⁾

A právě L-serie wolframu není dosud měřena žádnou fokusační metodou. Ve spektru W různí autoři často měřili čáry, které později druzí autoři nezjistili, jak je patrno z tabulky 1.

*

Experimentální uspořádání. Obecně lze říci, že pro L-serii dosud bylo užito fokusační metody Cauchoisové,⁴⁶⁾ která náleží do skupiny metod asymetrických s fokusací vertikální.⁴⁷⁾ ⁴⁸⁾

Fokusační metoda Kunzlova,⁴⁹⁾ ⁵⁰⁾ které bylo užito v této práci, podle uvedeného rozdělení patří do fokusačních metod symetrických s vertikální fokusací. Lze tedy v této symetrické metodě použít mosaikových krystalů, jak ukázal Bačkovský,⁵¹⁾ při čemž rozlišovací mohutnost v takovém symetrickém uspořádání je stejná jako při užití ideálně dokonalých krystalů. To bylo verifikováno na čáře Cu K α Bačkovským a Dolejškem⁵²⁾ za použití krystalu soli plasticky deformovaného, způsobem, který vypraco-

- ²⁶⁾ M. Siegbahn und M. Friman, Ann. d. Phys., **49** (1916), 616.
²⁷⁾ E. Hjalmar, Zs. f. Phys., **7** (1921), 314.
²⁸⁾ Coster, Zs. f. Phys., **6** (1921), 185.
²⁹⁾ P. Auger et A. Dauvillier, C. R., **176** (1923), 1297.
³⁰⁾ Wennerlöf, Zs. f. Phys., **41** (1927), 524, Ark. f. Mat. Ast. o. Fysik, **22** (1930), č. 8.
³¹⁾ S. Jdei, Sci. Rep. Tohoku Imp. Univ., **19** (1930), 559.
³²⁾ S. Kaufman, Phys. Rev., **45** (1934), 385, Phys. Rev., **45** (1934), 613.
³³⁾ Y. Cauchois, C. R., **202** (1936), 2068.
³⁴⁾ H. G. I. Moseley, Phil. Mag., **27** (1914), 703.
³⁵⁾ M. Siegbahn und E. Friman, Phys. Zs., **17** (1916), 17.
³⁶⁾ M. Siegbahn, Verh. dtsch. physik. Ges., **18** (1916), 150.
³⁷⁾ D. Coster, Zs. f. Phys., **4** (1921), 178, C. R., **112** (1921), 1176.
³⁸⁾ A. Dauvillier, C. R., **174** (1926), 443.
³⁹⁾ J. S. Rogers, Proc. Cambridge phil. Soc., **21** (1923), 430.
⁴⁰⁾ K. Lang, Ann. d. Phys., **75** (1924), 489.
⁴¹⁾ E. Friman, Zs. f. Phys., **39** (1926), 813.
⁴²⁾ S. Jdei, Sci. Rep. Tohoku Imp. Univ., **15** (1930), 559.
⁴³⁾ Hoyt, Phys. Rev., **18** (1921), 33.
⁴⁴⁾ S. Kaufman, Phys. Rev., **45** (1934), 385, Phys. Rev., **45** (1934), 613.
⁴⁵⁾ Y. Cauchois, C. R., **201** (1935), 598.
⁴⁶⁾ Y. Cauchois, Journ. de Phys. et le Radium, **7** (1932), 320.
⁴⁷⁾ V. Dolejšek-M. Tayerle, C. R., **205** (1937), 605.
⁴⁸⁾ V. Dolejšek-M. Tayerle, Journ. de Phys., **9** (1938), 465.
⁴⁹⁾ V. Kunzl, C. R., **201** (1935), 656.
⁵⁰⁾ V. Kunzl, Zs. f. Phys., **99** (1936), 481.
⁵¹⁾ J. M. Bačkovský, Nat., **141** (1938), 872.
⁵²⁾ J. M. Bačkovský-V. Dolejšek, Čas. mat. fys., **67** (1938), 211.

vali Bačkovský a Neprašová.⁵³⁾ Krystal soli kamenné je proto velmi vhodný k užívání výkonnosti symetrické fokusační metody Kunzlovy a skýtá nové možnosti pro hlubší studium spekter X. V K-serii ukázali výkonnost takového uspořádání Bačkovský a Neprašová při studiu Mo. Souvislost ideální mosaikové struktury s reflekčním mohutností daná vztahem $\Delta\sigma_{\min}/R_s = \text{konst}$, kde R_s = reflekční mohutnost krystalu v sym. metodě, $\Delta\sigma_{\min}$ = ideální mosaika, jak bylo prokázáno ve společné práci Dolejška, Jahody, Ježka a Rozsívala.⁵⁴⁾ ukazuje, že bylo výhodnější použít místo krystalu NaCl na př. krystalu ZnS, který má v symetrickém uspořádání ještě větší reflekční mohutnost než krystal NaCl. Dosud však není vypracována metoda pro deformaci tohoto krystalu, takže nelze jej zatím pro fokusační metody použít. Výkonnost uvedeného uspořádání byla taková, že na př. při studiu Ta vystoupily, jako znečištěnina Ta, všechny dosud měřené čáry Os: $\alpha_1, \alpha_2, \beta_1, \beta_3, \beta_4$ a β_5 (jak známo spektrum Os lze velmi těžko získat a další čáry, známé u sousedních prvků v L-serii, u Os známy dosud nejsou). Vlnové délky námi měřené u Os udává tabulka 1.

Vzhledem k uvedené vysoké výkonnosti metody ukázalo se nutným získati co možno nejčistší spektra. To se zatím podařilo u zkoumaných prvků Ta, W a Pt tím, že kromě normálních nejpřečlivějších opatření bylo použito katod ze stejného materiálu jako antikatomy zkoumaných látek (u Wa, Ta).⁵⁵⁾ Při studiu Pt bylo použito jako přímo žhavené katody molybdenové spirály. Data o specifické emisi byla použita z knihy Espe a Knoll.⁵⁶⁾

Výsledky. S tímto uspořádáním u uvedených prvků Ta, W, Pt, obdrženy byly všechny čáry dosud měřené a řada nových čar, jak kvadrupolových, tak zvláště nedigramových. Přehled obdržených výsledků je uveden v tabulkách 2, 3, 4, 5, 6, 7 a 8.

U každého prvku byly získány minimálně 4 serie snímků téhož oboru a to s různými krystaly NaCl. Hodnoty pro dipolové čáry neudáváme, byly však všechny proměřeny za účelem vyloučení různých koincidencí.

U Ta objevily se jako znečištěniny čáry niklu, který patrně zbyl ze sintrování Ta, dále čáry Os, Cu, Fe, Zn. U W objevily se čáry těchto prvků rovněž až na čáry prvků Os a Fe. U Pt objevily se čáry Cu, Zn a Ir a čáry K-serie Mo. Většinou jich bylo použito jako čar referentních pro klasifikaci.

⁵³⁾ J. M. Bačkovský a M. Neprašová, Čas. mat. fys., **67** (1938), 176.

⁵⁴⁾ Dolejšek, Jahoda, Ježek, Rozsíval, Nature, **142** (1938), 253.

⁵⁵⁾ Zajímavé je, že tantalové katody se osvědčily jako velmi vhodné a zdá se, že přítomnost tantalového karbidu na povrchu spirál značně zvyšuje emisi; a také životní doba tantalových spirál byla stejně dlouhá jako wolframových.

⁵⁶⁾ W. Espe und M. Knoll, Werkstoffkunde der Hochvakuumtechnik, Berlin 1936.

Tabulka čís. 1.
Přítomnost osmia v tantalu.
Měření některých čar osmia.

| Snímek | Vlnová délka, difusnost, in- tensita | Ref. čára | Δd v m. m. | Disperse | $\Delta \lambda$ | Niveau |
|--------|--|--------------|--------------------------|--------------------------------------|------------------|------------------------------------|
| I'''f | 1140,6 (1) | γ_1 | +0,7 | 7,18 ($\gamma_1\gamma_2$) | 5,0 | L _{III} OIV, v— |
| I'h | 1140,5 (1) | γ_1 | +0,7 | 6,96 ($\gamma_1\gamma_2$) | 4,9 | —čára β_5 |
| Stř. | 1140,6 (1) | γ_1 | | | | |
| IIf | 1165,0 d (1) | γ_5 | +0,7 | 7,73 ($\gamma_1\gamma_5$) | 5,4 | L _{III} Nv— |
| III''g | 1165,5 d (1) | γ_5 | -0,7 | 6,96 ($\gamma_1\gamma_5$) | 4,9 | —čára β_2 |
| I'h | 1164,6 (1) | γ_5 | -0,85 | 6,82 ($\gamma_1\gamma_5$) | 5,8 | |
| IIh | 1164,5 d (1) | γ_5 | -0,8 | 7,32 ($\gamma_1\bar{\gamma}_5$) | 5,9 | |
| IV''h | 1166,3 d (1) | γ_5 | -0,5 | 8,29 ($\gamma_1\gamma_5$) | 4,1 | |
| Stř. | 1165,2 d (1) | γ_5 | | | | |
| IIf | 1176,3 (1) | γ_5 | +0,8 | 7,42 ($\gamma_5\beta_9$) | 5,5 | L _{II} M _{III} — |
| III''g | 1176,3 (1) | γ_5 | +0,85 | 6,96 ($\gamma_1\gamma_5$) | 5,9 | —čára β_3 |
| I'h | 1175,9 (1) | γ_5 | +0,8 | 6,82 ($\gamma_1\gamma_5$) | 5,5 | |
| IIh | 1176,3 (1) | γ_5 | +0,8 | 7,35 ($\gamma_5\beta_9$) | 5,9 | |
| IV''h | 1176,9 (1) | γ_5 | +0,8 | 8,08 ($\gamma_5\beta_9$) | 6,5 | |
| Stř. | 1176,3 (1) | γ_5 | | | | |
| IIf | 1193,4 d (2) | γ_5 | +3,1 | 7,42 ($\gamma_5\beta_9$) | 23,0 | L _{II} M _{IV} — |
| III''g | 1194,8 d (2) | γ_5 | +3,5 | 6,96 ($\gamma_1\gamma_5$) | 24,4 | —čára β_1 |
| I'h | 1194,2 d (2) | γ_5 | +3,5 | 6,82 ($\gamma_1\gamma_5$) | 23,8 | |
| IV''h | 1193,8 d (1) | γ_5 | +2,9 | 8,08 ($\gamma_5\beta_9$) | 23,4 | |
| Stř. | 1194,2 d (2) | γ_5 | | | | |
| IIf | 1214,5 (1) | β_5 | +5,2 | 7,44 ($\gamma_5\beta_9$) | 38,6 | L _{II} M _{II} — |
| II''h | 1213,9 (1) | β_5 | +5,2 | 7,55 ($\gamma_5\beta_9$) | 39,2 | —čára β_4 |
| IV''h | 1214,3 (1) | β_5 | +4,8 | 8,08 ($\gamma_5\beta_9$) | 38,8 | |
| Stř. | 1214,2 (1) | β_5 | | | | |

| Snímek | Vlnová délka, difusnost, in- tensita | Ref. čára | Δd v m. m. | Disperse | $\Delta \lambda$ | Niveau |
|--------|--|----------------|--------------------------|--|------------------|------------------------------------|
| IV'f | 1399,4 (1) | Cu K β_1 | +1,35 | 8,42 (β_4 , Cu K β_1) 8,57 | 10,0 | L _{III} M _{IV} — |
| VI'g | 1400,1 (1) | Cu K β_1 | +1,25 | (β_4 , Cu K β_1) 8,05 | 10,7 | — čára α_2 |
| VI"g | 1399,5 (1) | Cu K β_1 | +1,25 | (β_4 , Cu K β_1) 8,75 | 10,1 | |
| VI"g | 1399,4 (1) | Cu K β_1 | +1,15 | (β_4 , Cu K β_1) 9,44 | 10,0 | |
| V"h | 1399,3 (1) | Cu K β_1 | +1,05 | (β_4 , Cu K β_1) | 9,9 | |
| Stř. | 1399,6 (1) | Cu K β_1 | | | | |

Tabulka č. 2.
Kvadrupolové čáry u L-serie tantalu.
Střední hodnoty.

| Niveau | λ , dif. int. | ν/R poč. | ν/R změř. | $\sqrt{\nu/R}$ | Cizí měření |
|--|-----------------------|-----------------|------------------|----------------|--|
| L _I M _I | 1079,0 (1) | 660,6 | 660,8 | 25,71 | — |
| L _I N _I | 1114,8 (2) | 818,6 | 817,8 | 28,60 | 1114,8 — Kaufman |
| L _I N _{IV} , v | 1081,3 d (4) | 843,0 | 842,8 | 29,03 | 1079,7 — Kaufman 1081,2 |
| L _I N _{VI} , VII | 1065,0 d (1) | 858,5 | 855,7 | 29,25 | 1066,3 — Kaufman |
| L _I O _I | 1065,0 d (1) | 855,2 | 855,7 | 29,25 | 1066,3 — Kaufman |
| L _I O _{IV} , v | 1058,8 (2) | 860,7 | 858,7 | 29,30 | 1059,6 — Kaufman |
| L _{II} M _{II} | 1427,8 (1) | 638,5 | 638,2 | 25,26 | — |
| L _{II} M _{III} | 1383,7 (2) | 658,6 | 658,6 | 25,66 | 1383,2 — Auger a Dauvillier |
| L _{II} M _V | 1315,1 (1) | 692,5 | 692,9 | 26,33 | 1316,3 — Kaufman |
| L _{II} N _{II} | 1161,2 (2) | 786,1 | 784,8 | 28,01 | — |
| L _{II} N _{III} | 1152,3 (3) | 790,5 | 790,5 | 28,12 | 1152,5 — Kaufman |
| L _{II} M _V | — velmi blízko u — | 1135,58 | | | |
| L _{II} N _{VI} , VII | 1114,3 (2) | 818,8 | 817,8 | 28,60 | — |
| L _{II} O _{II} , III | 1114,3 (2) | 817,4 | 817,8 | 28,60 | 1114,8 — Kaufman |
| L _{III} N _{II} | 1315,1 (1) | 693,5 | 692,9 | 26,33 | 1313,5 — Kaufman |
| L _{III} N _{III} | — velmi blízko u — | 1304,19 | | | |
| L _{III} O _{II} , III | 1260,0 (1) | 724,8 | 723,2 | 26,89 | 1261,3 — Auger a Dauvillier 1257,6 — Kaufman |

Jak je patrné z tabulky 3, pokud se týče kvadrupolových čar Ta, byly v této práci nalezeny chybějící kvadrupolové přechody

L_{II}N_{II}—L_IM_I, L_{II}N_{II}— a L_{II}N_{VI,VII},

Tabulka č. 3.
Jiskrové čáry u L-serie tantalu.
Střední hodnoty.

| Vlnová délka dif., int. | ν/R | $\sqrt{\nu/R}$ | Cizí měření |
|----------------------------|---------|----------------|--|
| 1069,5 d (1) | 852,1 | 29,19 | — |
| 1090,6 d (1) | 835,6 | 28,91 | — |
| 1109,4 (1) | 821,4 | 28,36 | — |
| 1115,8 (2) | 816,7 | 28,58 | — |
| 1129,4 (3) | 806,9 | 28,41 | 1129,0 — Auger a Dauvillier 1129,5 — Kaufman |
| 1145,6 (2) | 795,5 | 28,20 | — |
| 1173,4 (2) | 776,6 | 27,87 | — |
| 1179,6 (1) | 772,4 | 27,79 | — |
| 1204,4 (0) | 756,6 | 27,51 | — |
| 1209,2 d (1) | 754,8 | 27,45 | — |
| 1240,0 (1) | 734,5 | 27,11 | — |
| 1265,1 (0) | 720,3 | 26,84 | — |
| 1272,9 (1) | 715,9 | 27,76 | 1273,3 — Kaufman |
| 1275,5 (3) | 714,6 | 26,73 | 1275,2 — Kaufman |
| 1355,3 d (1) | 672,4 | 25,93 | — |
| 1364,0 (1) | 668,1 | 25,85 | — |
| 1369,8 (1) | 665,2 | 25,79 | — |
| 1445,6 (1) | 630,37 | 25,11 | — |
| 1457,4 (1) | 625,3 | 25,01 | — |
| 1557,8 (1) | 585,0 | 24,19 | — |
| 1565,7 d (1) | 582,0 | 24,13 | — |
| 1653,9 (1) | 551,0 | 23,47 | — |
| 1663,7 (1) | 547,7 | 23,40 | — |

čímž byly nalezeny všechny kvadrupolové přechody u tohoto prvku.

U W, kde již rovinným krystalem byl měřen značný počet kvadrupolových čar, ovšem různými autory, nalezli jsme v této práci všechny hodnoty již dříve měřené a vedle řady nových diagramových čar, o nichž se zmíníme až později, nalezli jsme nový kvadrupolový přechod L_I-O_I . Přechody L_I-N_I a $L_{III}-N_{II}$ nemohli jsme rozlišit od normálních dipolových přechodů, první od $L_I-O_{II,III}$ a druhý od $L_{II}-M_V$. Naproti tomu nemohli jsme najít chybějící přechod $L_{II}-N_{II}$. U Pt, kde měření Kaufmanovo bylo doplněno měřením pomocí fokusační metody Cauchoisové⁵⁷⁾, nebyly dosud měřeny tři očekávané přechody kvadrupolové a sice $L_{II}-M_{II}$, $L_{II}-M_V$ a $L_{II}-N_V$, které všechny jsme nalezli v této práci, jak je patrné z tabulky kvadrupolových linií Pt (tab. 7).

⁵⁷⁾ Y. Cauchois, C. R., 201 (1935), 598.

Tabulka č. 4.
Kvadrupolové čáry u L-serie wolframu.
Střední hodnoty.

| Niveau | λ , dif., int. | v/R poč. | v/R změr. | $\sqrt{v/R}$ | Cizí měření |
|---------------------------------------|------------------------|---------------|----------------|--------------|--|
| LiM _I | 1335,0 d (2) | 683,5 | 682,7 | 26,13 | 1336,6 — Dershem 1334,4 — Dauvillier 1335,9 — Kaufman |
| LiN _I | 1075,0 dd (2) | 847,5 | 847,7 | 29,12 | 1070,5 — Dershem 1074,8 — Crofut 1075,2 — Jdei 1075,1 — Kaufman |
| LiN _{IV} | 1044,2 (3) | 872,1 | 872,7 | 29,54 | 1044 — Overn 1043,9 — Dauvillier 1043,8 — Rogers 1044,4 — Crofut 1043,7 — Jdei |
| LiN _V | 1042,8 (4) | 873,2 | 873,9 | 29,56 | 1044,4 — Kaufman 1044 — Overn 1043,9 — Dauvillier 1043,8 — Rogers 1044,4 — Crofut 1043,7 — Jdei 1043,5 — Kaufman |
| LiN _{VI, VII} | velmi blízko u | — | 1026,2 | — | — |
| LiO _I | 1030,4 (1) | 884,4 | 884,4 | 29,74 | 1023,0 — Kaufman |
| LiO _{IV, V} | 1022,8 (2) | 890,8 | 891,0 | 29,85 | 1373,5 — Rogers |
| L _{II} M _{II} | 1381,0 (1) | 660,6 | 659,9 | 25,69 | 1336,6 — Compton |
| L _{II} M _{III} | 1335,0 d (2) | 682,4 | 682,7 | 26,13 | 1334,4 — Dauvillier 1335,9 — Kaufman |
| L _{II} M _V | 1269,1 dd (1) | 717,0 | 718,1 | 26,80 | 1270,2 — Kaufman |
| L _{II} N _{II} | 1112,3 d (2) | 818,1 | 819,3 | 28,62 | 1113 — Barnes 1113,8 — Rogers |
| L _{II} N _{III} | — | — | — | — | 1095 — De Broglie 1088,7 — Dauvillier |
| L _{II} N _V | 1090,3 (3) | 832,3 | 835,8 | 28,91 | 1086,2 — Rogers |
| L _{II} N _{VI, VII} | 1075,0 dd (2) | 847,9 | 847,7 | 29,12 | 1074,8 — Crofut 1075,2 — Jdei 1075,1 — Kaufman |
| L _{III} N _{II} | 1269,1 dd (1) | 715,3 | 718,1 | 26,80 | 1270,2 — Kaufman |
| L _{III} N _{III} | 1269,1 dd (1) | 719,5 | 718,1 | 26,80 | 1264,6 — Kaufman |
| L _{III} O _{II, III} | 1217,5 (2) | 748,8 | 748,5 | 27,36 | 1218,6 — Kaufman |

Na základě našich výsledků možno říci, že pro uvedené prvky skutečně existují v L-serii všechny přechody mezi jednotlivými energetickými niveaux a to i takové přechody kvadrupolové, které se v K-serii nevyskytují. U W, Ta, Pt nalezené linky odpovídají přechodům:

Tabulka č. 5.
Jiskrové čáry u L-serie wolframu.
Střední hodnoty.

| Vlnová délka dif., int. | ν/R | $\sqrt{\nu/R}$ | Cizí měření |
|----------------------------|---------|----------------|---|
| 1050,7 (1) | 867,3 | 29,45 | — |
| 1082,1 d (2) | 842,1 | 29,02 | 1080 — Jdei |
| 1134,2 d (1) | 803,4 | 28,34 | — |
| 1141,9 (0) | 798,0 | 28,25 | — |
| 1173,4 (0) | 766,6 | 27,87 | — |
| 1176,1 (2) | 774,8 | 27,84 | 1177,3 — Dershem |
| 1188,7 (0) | 766,6 | 27,69 | — |
| 1194,9 (1) | 762,6 | 27,62 | 1193,7 — Kaufmann |
| 1205,7 (3) | 752,3 | 27,42 | — |
| 1227,3 (2) | 742,5 | 27,25 | 1221 — De Broglie 1224,4 — Dauvillier 1230 — Rogers 1228,0 — Kaufmann |
| 1235,5 (6) | 737,6 | 27,16 | 1235 — Overn 1235,4 — Coster 1236 — Hoyt 1235,8 — Yoshida 1236,0 — Dauvillier 1235,5 — Rogers 1236,4 — Crotut 1235,8 — Jdei 1236,1 — Kaufmann |
| 1310,4 d (0) | 695,9 | 26,38 | 1312 — Barnes |
| 1320,9 (0) | 689,9 | 26,27 | 1321,2 — Rogers |
| 1409,0 (1) | 646,8 | 25,43 | — |
| 1450,9 (3) | 628,3 | 25,07 | 1450,3 — Rogers |
| 1501,3 (1) | 607,0 | 26,64 | — |
| 1515,3 (1) | 601,4 | 24,52 | — |

$$l \rightarrow \begin{cases} l+3 \\ l+2 \\ l+1 \\ l \\ l-1 \end{cases} \quad j \rightarrow \begin{cases} j+3 \\ j+2 \\ j+1 \\ j \\ j-1 \end{cases}$$

Kromě přechodů $l \rightarrow l+3$ a $j \rightarrow j+3$, jichž existence v K-serii není dosud jistá a které se v L-serii objevují, vyskytuje se tedy v L-serii určitě v K-serii marně hledané přechody typu K-X_L pro něž $\Delta l = \Delta j = 0$.

Regulérní dublety tvoří tyto nalezené kvadrupolové čáry:

$L_{\text{II}}M_{\text{II}} - t$, $L_{\text{II}}M_{\text{III}} - s$, $L_{\text{II}}M_{\text{V}} - \alpha_1$, $L_{\text{II}}N_{\text{II}} - L_{\text{III}}N_{\text{II}}$, $N_{\text{II}}N_{\text{III}} - L_{\text{III}}N_{\text{III}}$,
 $L_{\text{II}}N_{\text{V}} - \beta_2$, $L_{\text{II}}N_{\text{VI-VII}} - N_{\text{III}}N_{\text{VI-VII}}$, $L_{\text{I}}O_{\text{II,III}} - L_{\text{II}}O_{\text{II,III}}$.

Tabulka č. 6.
Kvadrupolové čáry u L-serie platiny.
Střední hodnoty.

| Niveau | λ , dif., int. | ν/R poč. | ν/R změr. | $\sqrt{\nu/R}$ | Cizí měření |
|---------------------------------------|------------------------|-----------------|------------------|----------------|---|
| L _I M _I | 1171,5 (1) | 779,3 | 777,8 | 27,89 | 1175 — Cauchois |
| L _I N _I | 9940,9 (0,5) | 969,0 | 968,5 | 31,12 | 9944,6 — Rogers 943,7 — Cauchois |
| L _I N _{IV} , v | 912,6 (3) | 999,0 | 998,5 | 31,60 | 912,2 — Kaufman |
| L _I N _{VI} , VII | 900,2 (1) | 1012,9 | 1012,3 | 31,82 | 897,3 — Cauchois |
| L _I O _I | 900,2 (1) | 1014,9 | 1012,3 | 31,82 | 897,3 — Cauchois |
| L _I O _{IV} , v | 892,1 (2) | 1021,3 | 1021,5 | 31,96 | 891,4 — Kaufman 891,6 — Cauchois 892,5 |
| L _{II} M _{II} | 1207,4 (1) | 754,8 | 754,7 | 27,46 | — |
| L _{II} M _{III} | 1162,6 (1) | 782,8 | 783,8 | 28,00 | 1164,6 — Kaufman 1164,3 — Cauchois |
| L _{II} M _V | 1109,3 (0,5) | 821,4 | 821,5 | 28,66 | — |
| L _{II} N _{II} | 980,0 (2) | 932,7 | 929,9 | 30,49 | 980,5 — Cauchois |
| L _{II} N _{III} | 969,4 (1) | 939,4 | 940,1 | 30,65 | 969,9 — Kaufman 969,78 — Cauchois |
| L _{II} N _V | 959,1 (1) | 954,8 | 950,1 | 30,82 | 967,2 — Dauvillier |
| L _{II} N _{VI} , VII | 950,7 (1) | 972,2 | 972,9 | 31,19 | 937,46 — Cauchois |
| L _{II} O _{II} , III | 936,7 (1) | 973,4 | 972,9 | 31,19 | 937,2 — Kaufman 937,46 — Cauchois |
| L _{II} N _{II} | 1131,2 (2) | 806,9 | 805,6 | 28,38 | 1129,1 — Kaufman |
| L _{II} N _{III} | 1121,7 (0) | 813,6 | 812,4 | 28,50 | 1120,1 — Kaufman |
| L _{II} O _{II} , III | 1076,2 (3) | 847,6 | 847,8 | 29,10 | 1075,2 — Rogers 1077 — Hoyt 1076,3 — Kaufman 1073,09 |

Irregulerní dublety tvoří tyto čáry:

L_IM_I— η , β_4 —L_{II}M_{II}, β_8 —L_{II}M_{III}, β_9 —L_{II}M_V, L_IN_I— γ_5 ,
 γ_2 —L_{II}N_{II}, γ_3 —L_{II}N_{III}, L_IN_{IV}— γ_1 , L_IN_V—L_{II}N_V,
L_IN_{VI}, VII—L_{II}N_{VI}, VII, L_IO_I— γ_8 , γ_4 —L_{II}O_{II}, III, L_{II}O_{IV}, V— γ_6 .

Jak je však z uvedených tabulek patrné, byla u téhoto prvků měřena hlavně velká řada čar nedigramových. Klasifikaci některých čar nedigramových a to L β'_2 , β_2 — β_2^{VII} , γ'_1 , γ'_2 , γ''_2 podali Richtmayer a Kaufman.⁵⁸⁾

Některé z téhoto čar byly měřeny u těžkých prvků fokusační metodou. A to pro at. č. 88 Hulubei⁵⁹⁾ a pro at. č. 68, 70, 71, 73, 75, 78 a 80 Cauchoisovou.⁶⁰⁾ Pro Pt měřili jsme v této práci všechny

⁵⁸⁾ F. K. Richtmayer and S. Kaufman, Phys. Rev., **44** (1933), 605.

⁵⁹⁾ H. Hulubei, C. R., **208** (1936), 665.

⁶⁰⁾ Y. Cauchois, C. R., **208** (1936), 398, C. R., **202** (1936), 2068, C. R., **204** (1937), 255, C. R., **201** (1935), 598, C. R., **200** (1935), 1314.

Tabulka č. 7.
Jiskrové čáry u L-serie platiny.
Střední hodnoty.

| λ int. dif. | ν/R | $\sqrt{\nu/R}$ | Cizí měření |
|---------------------|---------|----------------|---|
| 905,8 d (1) | 1006,11 | 31,72 | — |
| 922,2 (1) | 988,2 | 31,44 | 922,9 — Kaufman |
| 946,3 (1) | 963,1 | 31,03 | — |
| 950,5 (1) | 958,7 | 30,96 | 950,3 — Dauvillier |
| 966,0 (1) | 943,3 | 30,71 | — |
| 992,7 (1) | 918,0 | 30,30 | — |
| 999,6 (1) | 911,6 | 30,19 | — |
| 1006,5 (1) | 905,4 | 30,09 | — |
| 1011,3 (1) | 901,1 | 30,01 | — |
| 1014,2 (1) | 898,6 | 29,98 | — |
| 1030,7 (1) | 884,1 | 29,73 | — |
| 1036,8 (1) | 878,9 | 29,65 | — |
| 1047,8 (1) | 869,7 | 29,49 | — |
| 1049,2 (1) | 868,5 | 29,47 | — |
| 1055,5 (2) | 863,4 | 29,38 | 1053 — Hoyt 1057,0 — Cauchois |
| 1061,9 (1) | 858,2 | 29,30 | 1063,1 — Kaufman 1062,0 — |
| 1064,1 (2) | 856,4 | 29,06 | 1064,0 — Cauchois 1063,1 — Dauvillier 1065,7 — Kaufman 1065,7 — Cauchois |
| 1080,7 (8) | 843,5 | 29,04 | 1080,3 — Rogers |
| 1085,7 (1) | 839,4 | 28,97 | 1085,8 — Cauchois |
| 1087,8 (1) | 837,7 | 28,94 | 1087,8 — Kaufman |
| 1092,8 (8) | 833,9 | 28,88 | 1092,6 — Kaufman 1092,9 — Cauchois |
| 1094,8 (10) | 832,4 | 28,85 | 1092,8 — Coster 1094,1 — Dauvillier 1093,6 — Rogers 1094,4 — Jdei 1094,2 — Kaufman 1094,4 — Cauchois |
| 1149,4 (2) | 792,8 | 28,16 | — |
| 1171,5 (1) | 777,9 | 27,89 | 1175 — Cauchois |
| 1183,1 d (1) | 770,3 | 27,75 | — |
| 1211,8 (1) | 752,0 | 27,42 | — |
| 1230,5 (1) | 740,6 | 27,21 | — |
| 1235,1 (1) | 737,8 | 27,16 | — |
| 1249,6 d (1) | 729,3 | 27,01 | — |
| 1254,1 (1) | 726,6 | 26,96 | — |
| 1266,5 (1) | 719,5 | 26,82 | — |
| 1297,8 (1) | 702,1 | 26,50 | — |
| 1302,3 (1) | 699,8 | 26,45 | — |
| 1305,2 (4) | 698,2 | 26,42 | 1303,8 — Coster 1304,9 — Dauvillier |
| 1444,9 (1) | 630,7 | 25,11 | — |
| 1471,1 (1) | 619,5 | 24,89 | — |
| 1473,5 (1) | 618,4 | 24,87 | — |

Tabulka čís. 8.
Dipolové a kvadrupolové
Wolfram-serie.

| Niveau | 1) | 2) | 3) | 4) | 5) | 6) | 7) | 8) |
|------------------------|------|------|--------|--------|------|--------|--------|------|
| LiM _I | — | — | 1336,6 | — | — | — | — | — |
| LiM _{II} | 1296 | 1300 | 1298,6 | 1296 | 1292 | 1297,7 | 1298,7 | 1298 |
| LiM _{III} | 1258 | 1260 | 1260,2 | 1258 | 1256 | 1256,6 | 1260,0 | 1259 |
| LiM _{IV} | — | — | — | — | — | 1209,8 | — | 1209 |
| LiM _V | — | — | — | — | — | — | 1203,1 | 1202 |
| LiN _I | — | — | — | — | — | 1070,5 | — | — |
| LiN _{II} | — | 1065 | 1065,3 | 1064 | — | 1064,8 | 1065,8 | 1065 |
| LiN _{III} | — | — | 1058,4 | 1058 | 1057 | 1058,7 | 1059,7 | 1059 |
| LiN _{IV} | — | — | — | — | — | — | — | 1044 |
| LiN _V | — | — | — | — | — | 1042,7 | — | 1044 |
| LiN _{VI, VII} | — | — | — | — | — | — | — | — |
| LiO _I | — | — | — | — | — | — | — | — |
| LiO _{II, III} | — | 1033 | 1025,1 | — | 1025 | 1025,3 | 1026,5 | 1026 |
| LiP _{I, II} | — | — | — | — | — | — | — | — |
| LuM _I | — | — | — | — | — | 1416,3 | 1417,7 | — |
| LuM _{II} | — | — | — | — | — | — | — | — |
| LuM _{III} | — | — | 1336,6 | — | — | — | — | — |
| LuM _{IV} | 1277 | 1280 | 1279,2 | 1278 | 1275 | 1278,4 | 1279,2 | 1279 |
| LuM _V | — | — | — | — | — | — | — | — |
| LuN _I | — | — | — | — | — | 1129,7 | 1128,4 | 1130 |
| LuN _{II} | — | — | — | — | — | — | — | — |
| LuN _{III} | 1113 | — | — | — | — | — | — | — |
| LuN _{IV} | 1082 | 1100 | 1096,5 | 1095 | 1094 | 1095,3 | 1095,5 | 1096 |
| LuN _V | — | — | — | — | — | — | — | 1095 |
| LuN _{VI, VII} | — | — | — | — | — | — | — | — |
| LuO _I | — | — | — | — | — | — | — | 1079 |
| LuO _{II, III} | — | — | — | — | — | — | — | — |
| LuP _{I, II} | — | 1073 | — | — | — | — | — | 1072 |
| LmM _I | — | — | — | 1677,1 | — | — | 1675,1 | — |
| LmM _{II} | — | — | — | — | — | — | — | — |
| LmM _{III} | — | — | — | — | — | — | — | — |
| LmM _{IV} | — | 1480 | 1484,6 | 1481 | 1476 | 1482,8 | 1484,5 | 1483 |
| LmM _V | 1477 | 1468 | 1473,6 | 1471 | 1466 | 1472,2 | 1473,5 | 1473 |
| LmN _I | — | — | — | — | 1283 | 1286,8 | 1287,1 | 1287 |
| LmN _{II} | — | — | — | — | — | — | — | — |
| LmN _{III} | — | — | — | — | — | — | — | — |
| LmN _{IV} | — | — | — | — | — | — | — | — |
| LmN _V | — | 1242 | 1242 | 1241 | 1237 | 1241,6 | 1241,9 | 1243 |
| LmN _{VI, VII} | — | — | — | — | — | — | — | — |
| LmO _I | — | — | 1218,7 | — | — | 1220,2 | 1220,5 | 1221 |
| LmO _{II, III} | — | — | — | — | — | — | 1211,8 | 1213 |
| LmP _{I, II} | — | — | — | — | — | — | — | 1080 |

a jiskrové čáry.

Wolfram-serie.

| 9) | 10) | 11) | 12) | 13) | 14) | 15) | 16)*) | 17) | 18) |
|---------|--------|--------|--------|--------|---------|--------|---------|---------|---------|
| — | — | — | — | 1334,4 | — | — | — | — | 1335,0 |
| 1298,9 | — | — | 1297,7 | 1298,5 | 1298,7 | 1292,8 | 1298,79 | 1298,79 | 1298,79 |
| 1260,5 | — | — | 1259,5 | 1259,8 | 1260,1 | 1260,2 | 1259,92 | 1259,92 | 1259,92 |
| — | — | 1209 | — | 1210,5 | — | 1209,9 | — | 1209,6 | 1209,27 |
| 1204,4 | — | 1201 | 1201,0 | 1203,4 | 1202,1 | 1202,7 | 1202,5 | 1202,3 | 1202,32 |
| — | — | — | — | — | — | 1074,8 | — | 1075,2 | 1075,0 |
| 1065,9 | 1065,8 | — | 1064,8 | 1065,6 | 1065,0 | 1065,9 | 1065,88 | 1065,88 | 1065,88 |
| 1059,9 | — | — | 1058,5 | 1059,2 | 1059,0 | 1059,9 | 1059,87 | 1059,87 | 1059,87 |
| — | — | — | — | 1043,9 | 1043,3 | 1044,4 | — | 1043,7 | 1044,2 |
| — | — | — | — | 1043,9 | 1043,3 | 1044,4 | — | 1043,7 | 1042,8 |
| — | — | — | — | — | — | — | — | — | 1026,2 |
| — | — | — | — | — | — | — | — | — | 1030,4 |
| 1026,4 | — | — | 1025,1 | 1026,2 | 1025,6 | 1026,6 | 1025,8 | 1025,8 | 1026,21 |
| — | — | — | — | — | — | — | — | — | 1022,8 |
| 1418,1 | — | — | 1414,3 | — | 1417,3 | 1418 | 1418,1 | 1418,1 | 1418,33 |
| — | — | — | — | — | 1373,5 | — | — | — | 1381,0 |
| — | — | — | — | 1334,4 | — | — | — | — | 1335,0 |
| 1273,34 | — | — | 1279,2 | 1278,8 | 1279,05 | 1279,3 | 1279,17 | 1279,17 | 1279,17 |
| — | — | — | — | — | — | — | — | — | 1269,1 |
| — | — | — | 1128,8 | 1128,8 | 1129,2 | 1129,9 | — | 1129,8 | 1129,66 |
| — | — | — | — | — | 1113,8 | — | — | — | — |
| 1096,44 | — | — | 1096,2 | 1095,5 | 1095,53 | 1096,4 | 1096,30 | 1096,30 | 1096,30 |
| — | — | — | — | 1088,7 | 1086,2 | — | — | — | 1090,3 |
| — | — | — | — | — | 1074,8 | — | 1075,2 | 1075,0 | — |
| — | — | — | — | 1078,5 | 1078,0 | 1078,6 | — | 1079,1 | 1078,80 |
| — | — | — | 1072,0 | 1071,1 | 1072,1 | 1071,5 | 1072,3 | — | 1075,2 |
| — | — | 1676,2 | — | — | — | — | 1675,0 | 1675,0 | 1072,23 |
| — | — | — | — | 1621,6 | — | — | — | — | 1621,4 |
| — | — | — | — | 1561,0 | — | — | — | — | 1559,6 |
| 1484,4 | — | — | 1484,5 | — | 1484,3 | 1484,4 | 1484,38 | 1484,38 | 1484,38 |
| 1473,55 | — | — | 1474,0 | — | 1473,27 | 1473,3 | 1473,36 | 1473,36 | 1473,36 |
| — | — | — | 1287,6 | 1288,3 | 1287,6 | 1287,5 | 1287,0 | 1287,0 | 1287,38 |
| — | — | — | — | — | — | — | — | — | 1269,1 |
| — | — | — | — | — | — | — | — | — | 1269,1 |
| 1243,24 | 1241,2 | — | 1242,3 | 1242,4 | 1241,92 | 1242,1 | 1242,03 | 1242,03 | 1242,03 |
| — | — | — | — | — | — | 1216,6 | — | 1216,1 | 1216,46 |
| — | 1220,8 | 1221 | 1221,3 | — | — | 1220,6 | 1221,7 | — | 1221,7 |
| — | — | — | — | — | — | — | — | — | 1221,35 |
| — | — | — | — | — | — | — | — | — | 1217,5 |
| — | — | — | 1213 | 1211,6 | 1214,6 | 1212,6 | 1213,3 | — | 1212,9 |
| — | — | — | — | — | — | — | 1069,9 | — | 1212,58 |
| — | — | — | — | — | — | — | — | — | 1050,7 |
| — | — | — | — | — | — | — | — | — | — |
| — | — | — | — | — | — | — | — | — | 1082,1 |
| — | — | — | — | — | — | — | — | — | 1134,2 |
| — | — | — | — | — | — | — | — | — | 1141,9 |
| — | — | — | — | — | — | — | — | — | 1173,4 |

Pokračování tab. 8.
Wolfram-serie.

| Niveau | 1) | 2) | 3) | 4) | 5) | 6) | 7) | 8) |
|--------|----|----|----|----|----|--------|----|----|
| 1312 | — | — | — | — | — | 1177,3 | — | — |
| | — | — | — | — | — | — | — | — |
| | — | — | — | — | — | — | — | — |
| | — | — | — | — | — | — | — | — |
| | — | — | — | — | — | — | — | — |
| | — | — | — | — | — | — | — | — |
| | — | — | — | — | — | — | — | — |
| | — | — | — | — | — | — | — | — |
| | — | — | — | — | — | — | — | — |
| | — | — | — | — | — | — | — | — |

1) Barnes 1915 — 2) Hull a Rice 1916 — 3) Compton 1916 —
4) Siegbahn a Friman; Siegbahn 1916 — 5) Gorton 1916 — 6) Dershem
1918 — 7) Siegbahn 1919 — 8) Overn 1919 — 9) Duane a Patterson 1920

uvedené čáry, jak je patrné z tabulky č. 1, a nově čáru β_2^{VII} , která pro tento prvek dosud měřena nebyla. Nemohli jsme rozlišit čáry γ'_1 a γ'_2 pro přílišnou přeexponaci hlavních čar. Rovněž pro W jsme nemohli oddělit čáru β_2^{V} od čáry β_9 . U Ta a W rovněž jsme neměřili čáru γ'_2 , naproti tomu γ''_2 byla měřena u všech 3 prvků.

Přehled těchto námi nalezených čar podává diagram. V diagramu je učiněn pokus o ukázání, že tyto čáry vyhovují u studovaných prvků Moseleyovu zákonu. Některé z těchto čar mohou se přiřadit jako satelity k čaram γ_4 nebo γ_2 , některé jako satelity ke γ_5 a β_9 , jiné ke β_2 , β_4 a konečně lze některé označit jako satelity α a l čar. Takové přiřazení lze nejlépe provésti u čar β'_9 a β''_9 , které u všech tří prvků Ta, W a Pt vyhovují v mezích přesnosti Moseleyovu zákonu. U W hodnota čáry β'_9 souhlasí s čarou, kterou již dříve nalezl pro tento prvek Dershem (loc. cit.), která však nemohla být dříve klasifikována; poněvadž u jiných prvků až dosud měřena nebyla.

Grafické znázornění Moseleyho zákona pro čáry β'_9 a β''_9 probíhá paralelně s grafem pro čáru β_2^{X} , který však protíná skupinu grafů pro satelity čáry γ_1 a γ_2 a proto čára β_2^{X} byla přiřazena k čáre β_2 . Čára β_2^{X} u Ta vůbec měřena nebyla. Pro Pt souhlasí hodnota této čáry s čarou, kterou dříve nalezli Cauchoisová a Kaufman. Tři trabanty čáry β_4 splňují Moseleyův zákon úplně

Pokračování tab. 8.
Wolfram-serie.

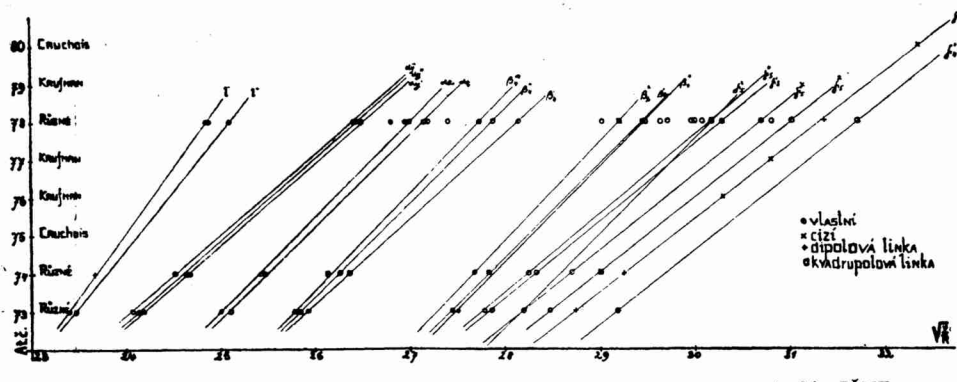
| 9) | 10) | 11) | 12) | 13) | 14) | 15) | 16) | 17) | 18) |
|----|--------|------|--------|--------|--------|--------|-----|--------|--------|
| — | — | — | — | — | — | — | — | — | 1176,1 |
| — | — | — | — | — | — | — | — | — | 1188,7 |
| — | — | — | — | — | — | — | — | — | 1194,9 |
| — | — | — | — | — | — | — | — | — | 1205,7 |
| — | — | — | — | 1224,4 | 1230 | — | — | — | 1227,6 |
| — | 1235,4 | 1235 | 1235,8 | 1236,0 | 1235,5 | 1236,4 | — | 1235,8 | 1235,5 |
| — | — | — | — | — | 1248,7 | — | — | — | — |
| — | — | — | — | — | — | — | — | — | 1310,4 |
| — | — | — | — | — | 1321,2 | — | — | — | 1320,9 |
| — | — | — | — | — | — | — | — | — | — |
| — | — | — | — | — | — | — | — | — | 1409,0 |
| — | — | — | — | — | 1450,3 | — | — | — | 1450,9 |
| — | — | — | — | — | — | — | — | — | 1495,6 |
| — | — | — | — | — | — | — | — | — | 1501,3 |
| — | — | — | — | — | — | — | — | — | 1515,3 |

— 10) Coster 1921 — 11) Hoyt 1921 — 12) Yoshida 1921 — 13) Dauvillier 1922 — 14) Rogers 1923 — 15) Crofut 1924 — 16) Friman 1926 — 17) Jdei 1929 — 18) Dolejšek-Vranský 1939.

*) Hodnoty přesného měření Frimanova vyznačené dvěma desetinnými místy jsou přejaty Jdeim (17) i námi (18) jako referenční čáry.

stejně jako trabanty čáry β_9 . S výjimkou β'_4 u W, kterou již roku 1916 měřil Barnes, všechny ostatní čáry až dosud měřeny nebyly. Tato klasifikace je naprostě bezpečná. Z trabantů čáry γ_5 je zajímavá čara γ_5^X , která tvoří pro tyto 3 prvky s čarou β''_9 irregulérní dublet, jak plyne z Moseleyho grafu. Grafy pro ostatní trabanty čáry γ_5 nejsou paralelní s grafem pro čáru γ_5^X , nýbrž protínají jej a jsou paralelní s grafy trabantů čáry γ_2 . U W nebyla čara γ_5^Z původně v této práci nalezena a teprve po přiřazení pomocí Moseleyho zákona byla hledána. Nebyla však nalezena. Hodnota trabantu γ_5^Z pro W souhlasí s hodnotou, kterou dříve nalezl pro tento prvek Jdei. Čara γ_5^Z u Ta byla hledána a nalezena dodatečně až při klasifikaci nových nedidiagramových čar. Z trabantů čáry γ_2 je zajímavá čara γ'_2 , kterou klasifikoval již dříve Kaufman jako čaru γ'_2 . Tuto čáru jsme však nenalezli ani u jednoho ze zkoumaných prvků. (Patrně u těchto prvků je γ'_2 příliš blízko u γ_2 nebo γ_3 .)

Na kratší straně čáry α_1 měřili jsme trabanty α_2 a α_4 . Hodnota α_4 pro W byla hledána a nalezena dodatečně. Z těchto trabantů je zajímavý α_2 , který tvoří irregulérní dublet s β'''_4 . Dále byly měřeny trabanty α'_y , α''_y a α'''_y . Tyto tři čáry byly naměřeny u všech tří prvků. Pro platinu ale hodnoty α''_y a α'''_y splývají



Archiv JČMF.

s hodnotami trabantů α^x a α'^x , měřených Cauchoisovou pro Ta, Re a Bi a Hulubeiem pro Ra. Konečně lze přiřadit čáre l satelity l' a l'' , měřené u Ta a Pt. Hodnota l' pro W splyvá s čarou t , a l'' pro týž prvek nalezena nebyla.

Jak je vidět z uvedeného grafu, zůstává u Pt ještě značný počet čar, které nelze zatím klasifikovati, neboť jak bylo uvedeno již dříve, platina je prvek velmi vhodný pro spektroskopické studování a proto lze snadněji obdržeti jeho spektrum.

Jak ukazuje srovnání našich výsledků na př. pro W (viz tab. 8) s výsledky ostatních uvedených autorů, byly nalezeny téměř všechny čáry, které na různých místech mnohými autory jsou udávány.⁶¹⁾ Velmi překvapující byl fakt, že se nepodařilo nikomu pomocí rovinného krystalu tyto slabé linie získati všechny. Tento fakt lze vysvětliti z poznatku učiněného během naší práce, kde při použití fokusační metody mohli jsme pro kratší dobu expoziční získati větší počet snímků pro týž obor spektra. Ukázalo se, že ke zjištění některých čar bylo nutno voliti exposice ne s maximální hustotou černání fotografické desky, které naše uspořádání dovolovalo. Neboť difusní podklad, vznikající vadami krystalů při krajních expozicích překrýval charakteristické slabé čáry i při použití různých exemplářů krystalů. Tento faktor — difuse záření na krystalu — zdá se nám, určuje při našem fokusačním fotografickém uspořádání hranice stanovitelnosti slabého charakteristického záření.

Spektroskopický ústav Karlovy university, Praha.

*

⁶¹⁾ Přehled těchto výsledků udán je v knize M. Siegbahn: Spektroskopie der Röntgenstrahlen, 1932.